

# Неоднородно заполненные вихревые кольца в нелинейной оптике

В. П. Рубан<sup>1)</sup>

*Институт теоретической физики им. Л. Д. Ландау РАН, 142432 Черноголовка, Россия*

Поступила в редакцию 20 марта 2023 г.

После переработки 21 марта 2023 г.

Принята к публикации 21 марта 2023 г.

В рамках модели связанных нелинейных уравнений Шредингера численно выявлен новый тип долгоживущих уединенных структур для параксиальной оптики с двумя круговыми поляризациями света в однородной дефокусирующей Керровской среде с аномальной дисперсией групповой скорости. Найденный гибридный трехмерный солитон представляет собой вихревое кольцо на фоне плоской волны в одной из компонент, причем сердцевина вихря неоднородна по азимутальному углу заполнена другой компонентой. Существование в определенной параметрической области таких квазистационарных структур с пониженней симметрией связано с насыщением так называемой сосисочной неустойчивости, обусловленной эффективным поверхностным натяжением доменной стенки между двумя поляризациями.

DOI: 10.31857/S1234567823080049, EDN: wbpsqb

**Введение.** Как известно, характер распространения слабонелинейной квазимохроматической световой волны в трехмерной оптической среде с Керровской нелинейностью определяется типом дисперсии групповой скорости (нормальная либо аномальная) и типом нелинейности (фокусирующая либо дефокусирующая). Для каждой из четырех возможных комбинаций характерны свои когерентные структуры и свои динамические режимы, приближенно описываемые нелинейным уравнением Шредингера (НУШ) с соответствующими коэффициентами (см., например, [1–4] и ссылки там). В частности, волна в дефокусирующей среде с аномальной дисперсией подобна устойчивой квантовой жидкости (разреженному бозе-конденсату холодных атомов при их взаимном отталкивании; НУШ при этом обычно называют уравнением Гросса–Питаевского). В такой системе, помимо темных солитонов, возможны топологические возбуждения в виде квантovанных вихрей [5]. Аналогия идет еще дальше, если оптическая волна несет в себе две круговые поляризации, поскольку в этом случае свет описывается двумя связанными НУШ [6], равно как и бинарный бозе-конденсат [7–13]. Однако некоторая разница в постановке задач все же имеется, так как реальные бозе-конденсаты ограничены в пространстве удерживающим потенциалом ловушки, тогда как для света в однородной среде более реалистичной оказывается модель без внешнего потенциала.

Интересно отметить, что наличие второй компоненты позволяет существенно расширить набор доступных когерентных структур. Например, в типичном для нелинейной оптики режиме разделения фаз, помимо темных солитонов и квантovанных вихрей в каждой из двух компонент, возможны еще доменные стенки, разделяющие области с правой и левой круговыми поляризациями [14–21]. Доменная стенка характеризуется эффективным поверхностным натяжением [10, 22], которое влияет на равновесную форму и динамику областей. Для бозе-конденсатов различные аспекты разделения фаз рассматривались в работах [23–41]. Важно, что существуют комбинированные вихрь-солитонные комплексы [9, 19–21, 42–48]. Например, это может быть вихревое кольцо в одной из компонент, сердцевина которого образует потенциальную яму для другой компоненты и заполнена ею [49]. В данной работе получены новые результаты именно для таких структур применительно к нелинейной оптике.

**Предварительные замечания.** Для захваченных бинарных бозе-конденсатов недавно было теоретически найдено [49], что во внешнем квадратичном осесимметричном потенциале ловушки заполненное кольцо может быть как линейно устойчиво относительно азимутальных возмущений, так и неустойчиво, в зависимости от параметров. Неустойчивость, возникающая при увеличении количества захваченной второй компоненты, подобна так называемой сосисочной неустойчивости полого вихря в классической гидродинамике. Ее природу легко понять на примере прямого вихря с осесимметричными воз-

<sup>1)</sup>e-mail: ruban@itp.ac.ru

мущениями. В том случае, когда ширина доменной стенки мала по сравнению с локальным радиусом сердцевины заполненного квантового вихря, классическая двухжидкостная модель позволяет записать функционал эффективной потенциальной энергии, минимум которого определяет устойчивое распределение второй компоненты вдоль оси вихря (см. [47] и ссылки там). Оказывается, что однородная конфигурация перестает быть устойчивой при превышении заполняющей компонентой некоторого критического количества на единицу длины. Минимум функционала в этом случае достигается на структурах типа сосисок (не вполне круглых пузырей). В случае заполненного кольца аккуратное аналитическое описание весьма затруднительно, но в качественном отношении неустойчивость аналогична. Спецификой системы в ловушке оказалась ненасыщаемость этой неустойчивости. В конечном итоге неустойчивое заполненное вихревое кольцо в конденсате разрушается после сложного взаимодействия (сопровождающегося перекачкой энергии) между неоднородными течениями второй компоненты вдоль сердцевины и движениями самого кольца на неоднородном фоне плотности [49].

В данной работе будет показано, что в однородном пространстве дело обстоит иначе. Оказывается, что заполненное оптическое вихревое кольцо на фоне однородной волны сохраняет свою целостность и распространяется на большие расстояния даже и в тех случаях, когда оно подвержено сосисочной неустойчивости. Разница по сравнению с захваченным ловушкой бозе-конденсатом состоит в отсутствии заметного потока энергии от степеней свободы, определяющих положение кольца в пространстве, к степеням свободы, описывающим азимутальное распределение второй компоненты. В зависимости от интенсивности волны и количества второй компоненты поведение системы будет разным (для кольца с заданным радиусом). При малом количестве второй компоненты либо при относительно слабой мощности фоновой волны начальная азимутальная неоднородность заполнения приводит к последующим попеременным утолщением кольца то с одной его стороны, то с противоположной. Такое поведение характерно для одномерного нелинейного осциллятора с одноженным четным потенциалом (координатой этого осциллятора можно в грубом приближении считать амплитуду первой азимутальной гармоники распределения второй компоненты вдоль кольца). При большом заполнении либо при сильной нелинейности утолщение остается на месте и существенного перетекания второй компоненты вдоль кольца не происходит. Такая

конфигурация соответствует нарушению симметрии в системе с двумя одинаковыми одномерными потенциалами и свидетельствует о насыщении сосисочной неустойчивости.

Стоит еще отметить, что в двумерном пространстве аналогом вихревого кольца является вихревая пара. Два вихря могут быть неодинаково заполнены второй компонентой (см. [43] и ссылки там), и тогда это отдаленно напоминает рассматриваемую здесь ситуацию. Еще более отдаленный аналог – несимметричная пара так называемых темно-светлых солитонов в одном измерении (см. [50] и ссылки там). Одно из главных отличий трехмерного кольца – возможность продольных течений вдоль вихря, тогда как в 1D и 2D случаях перетекание “светлой” компоненты из одной потенциальной ямы (создаваемой вихревой или “темной” компонентой) в другую возможно только за счет туннелирования.

**Модель.** Мы рассматриваем трехмерную, оптически прозрачную, однородную диэлектрическую среду с изотропным законом дисперсии линейных волн  $k(\omega) = \sqrt{\epsilon(\omega)}\omega/c$  и с дефокусирующей Керровской нелинейностью. Будем полагать дисперсию групповой скорости аномальной (т.е.  $k''(\omega) < 0$  в некотором диапазоне). Как правило, область аномальной дисперсии находится вблизи низкочастотного края окна прозрачности (в реальных веществах это обычно инфракрасная область спектра; см., например, [51, 52]).

Нелинейная по электрическому полю часть индукции на частоте  $\omega$  предполагается в виде

$$\mathbf{D}^{(3)} = \alpha(\omega)|\mathbf{E}|^2\mathbf{E} + \beta(\omega)(\mathbf{E} \cdot \mathbf{E})\mathbf{E}^* \quad (1)$$

с отрицательными  $\alpha(\omega)$  и  $\beta(\omega)$ . Определив амplitуды  $A_{1,2}$  левой и правой круговых поляризаций с помощью формулы

$$\mathbf{E} = [(\mathbf{e}_x + i\mathbf{e}_y)A_1 + (\mathbf{e}_x - i\mathbf{e}_y)A_2]/\sqrt{2} \quad (2)$$

и подставив (1) в уравнения Максвелла, можно стандартным образом получить систему связанных НУШ для  $A_{1,2}$  (см. [6, 14–21]).

Зафиксируем несущую частоту  $\omega$ , соответствующую ей волновое число  $k_0 = 2\pi/\lambda_0$ , первую производную  $k'_0$  и вторую производную  $k''_0$ . Как принято в оптике, эволюционной переменной вместо времени  $t$  у нас служит дистанция  $\zeta$  вдоль оси пучка, а роль третьей “пространственной” координаты играет “запаздывающее” время  $\tau = t - \zeta/v_{\text{gr}}$ , где  $1/v_{\text{gr}} = k'_0$ . Выберем в качестве масштаба для поперечных координат большой радиус вихревого кольца  $R_0 \sim 10^2\lambda_0$ . Продольную координату  $\zeta$  будем измерять в единицах  $k_0 R_0^2 \sim 10^5 \lambda_0$ , переменную  $\tau$  –

в единицах  $R_0\sqrt{k_0|k''_0|}$ , а электрическое поле — в единицах  $\sqrt{2\epsilon/|\alpha|}/(k_0R_0)$ . В обезразмеренных таким образом переменных мы имеем следующую систему связанных НУШ для медленных комплексных огибающих  $A_{1,2}(x, y, \tau, \zeta)$ :

$$i\frac{\partial A_{1,2}}{\partial \zeta} = \left[ -\frac{1}{2}\Delta + |A_{1,2}|^2 + g_{12}|A_{2,1}|^2 \right] A_{1,2}, \quad (3)$$

где  $\Delta = \partial_x^2 + \partial_y^2 + \partial_\tau^2$  — трехмерный оператор Лапласа в “координатном” пространстве  $(x, y, \tau)$ . Параметр перекрестной фазовой модуляции  $g_{12} = 1 + 2\beta/\alpha$  в типичном случае примерно равен 2. Условие  $g_{12} > 1$  соответствует режиму разделения фаз.

**Численный метод.** Для численного моделирования использовался стандартный метод (Split-Step Fourier Method) второго порядка точности по эволюционной переменной  $\zeta$ . Важное отличие от предыдущих работ [21, 40, 41] состоит в способе приготовления начального состояния. Поскольку идеальное вихревое кольцо — объект не статический [в пространстве  $(x, y, \tau)$ ], а стационарно движущийся с некоторой “скоростью”  $u$  (для определенности — вдоль оси  $\tau$ ), удобно сделать замену

$$A_1(x, y, \tau, \zeta) = \sqrt{I_0}A(x, y, \tau - u\zeta, \zeta)e^{-iI_0\zeta}, \quad (4)$$

$$A_2(x, y, \tau, \zeta) = \sqrt{I_0}B(x, y, \tau - u\zeta, \zeta)e^{(iu\tau - i\mu_2\zeta)}, \quad (5)$$

где  $I_0$  — интенсивность невозмущенной плоской волны,  $\mu_2$  — “химический потенциал” второй компоненты. В строго стационарном случае новые неизвестные функции  $A(x, y, z, \zeta)$  и  $B(x, y, z, \zeta)$  не зависели бы от  $\zeta$ , причем вдали от кольца  $A \rightarrow 1$  (новую “пространственную” переменную  $z = \tau - u\zeta$  не следует путать с эволюционной переменной  $\zeta$ ).

Казалось бы, при моделировании консервативной системы для  $A$  и  $B$ , которая следует из уравнений (3), новые переменные никакого преимущества не дают. Но цель проведенной замены состоит в другом — получить возможность использовать метод распространения в мнимом времени (*imaginary-time propagation*) для численного приготовления начального состояния, как можно более близкого к стационару. Необходимо при этом подчеркнуть, что интересующее нас стационарное решение не является строгим минимумом соответствующего функционала  $\mathcal{H}_u[A, B] - \int(I_0|A|^2 + \mu_2|B|^2)dxdydz$ , а лишь его седловой точкой. Например, по радиусу вихревого кольца этот функционал имеет максимум, так что в диссипативной процедуре, пока жесткие моды релаксируют, размер кольца медленно уходит от начального значения. Поэтому мы вынуждены ограничиться конечным псевдовременным интервалом в методе

мнимого времени, что не позволяет нам полностью избавиться от возмущений в начальном состоянии. С другой стороны, моделирование с нестационарными возмущениями делает численные эксперименты более реалистичными и дает возможность оценить в целом устойчивость исследуемых структур.

Заметим еще, что все вычисления проводились в кубе  $(2\pi)^3$  с периодическими граничными условиями по переменным  $x$ ,  $y$  и  $z$ . Поэтому, строго говоря, представленные здесь структуры не являются вполне уединенными. Однако при радиусе кольца 1 влияние периодически расположенных “соседних” одинаковых вихрей не очень существенно.

**Типичные значения параметров.** Подбирая параметры  $u$ ,  $I_0$  и  $\mu_2 \sim I_0$ , а также затравочные функции  $A$  и  $B$  для процедуры распространения в мнимом времени, равно как и сам псевдовременный интервал, можно добиться достаточно “хорошего” начального состояния с желаемым значением количества второй компоненты  $N_2 = \int |B|^2 dxdydz$ .

Поскольку безразмерную ширину сердцевины незаполненного вихря можно оценить как  $\xi \sim 1/\sqrt{I_0}$ , основной интерес представляют значения  $I_0 = 16$ –80, при которых (размерная) ширина сердцевины существенно меньше радиуса кольца, но все еще много больше длины волн для применимости квазимонохроматического приближения. Не следует также забывать об ограничении  $\xi R_0 \sqrt{k_0|k''_0|}\omega \gtrsim 2\pi$  на ширину края по переменной  $\tau$ , которое в случае  $(\omega^2|k''_0|/k_0) < 1$  является более жестким, чем  $\xi k_0 R_0 \gtrsim 2\pi$ .

Параметр  $u$  необходимо подбирать самосогласованно из того требования, чтобы последующее движение кольца в пространстве  $(x, y, z)$  происходило с как можно меньшей скоростью (на практике достаточно добиться остаточной скорости  $\lesssim 0.2$ ). Самые значения  $u$  при этом находятся в диапазоне от  $\approx 1.5$  при  $I_0 = 16$  до  $\approx 2.0$  при  $I_0 = 81$ .

Эволюционный интервал по переменной  $\zeta$  составлял не менее 60 единиц. Во всех случаях вихрь-солитонный комплекс не проявлял тенденции к заметному нарастанию амплитуд возмущений, что свидетельствует о долговременном характере рассматриваемых структур и их практической устойчивости.

**Примеры.** Первый пример квазистационарного заполненного вихревого кольца с нарушенной азимутальной симметрией приведен на рис. 1. Значения параметров в этом численном эксперименте были  $I_0 = 25$ ,  $u \approx 1.65$ ,  $N_2 \approx 1.8$ . Соответствующие профили интенсивностей  $|A|^2$ ,  $|B|^2$ , а также вихревой фазы показаны на рис. 2. Для сравнения следует упомянуть, что с меньшим количеством второй компонен-

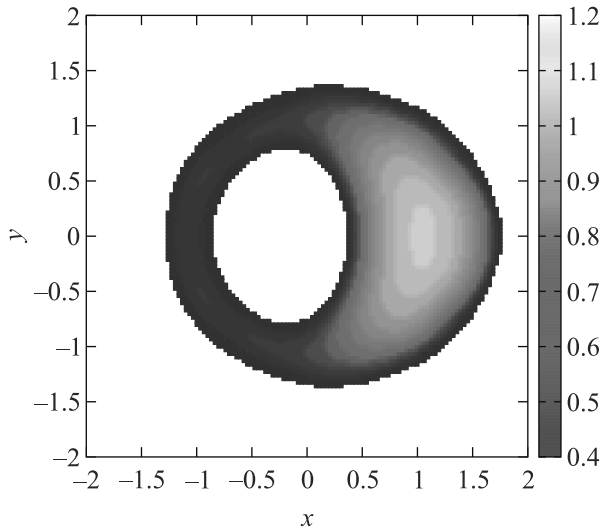


Рис. 1. (Цветной онлайн) Численный пример неоднородно заполненного квазистационарного вихревого кольца. Показана поверхность  $|A(x, y, z)|^2 = 0.5$  на дистанции распространения  $\zeta = 100$ , причем цветом отмечено значение координаты  $z$  (см. подробности в тексте)

ты  $N_2 \approx 0.6$  сосисочная неустойчивость отсутствовала, поскольку имел место режим колебаний для амплитуды первой азимутальной моды с переходом ее через нуль (причем без замедления вблизи нуля). Критическое значение заполнения оказалось в районе  $N_{2,c} \approx 1.0$ . При уменьшении интенсивности до  $I_0 = 16$  даже сильно заполненный (“толстый”) вихрь с  $N_2 \approx 1.9$  не проявлял сосисочной неустойчивости. Напротив, увеличение интенсивности до  $I_0 = 36$  уменьшало критическое заполнение до  $N_{2,c} \approx 0.5$ .

Так как безразмерный коэффициент эффективного поверхностного натяжения зависит от  $I_0$  как  $\sigma \propto \sqrt{I_0}$ , следует ожидать особенно ярко выраженной сосисочной неустойчивости при больших значениях  $I_0$ . Пример сильно неоднородного вихревого кольца для случая  $I_0 = 81$ ,  $u \approx 2.0$ ,  $N_2 \approx 1.0$  представлен на рис. 3. Видно, что на значительной части кольца вторая компонента практически полностью отсутствует — она вся выдавлена в четко оформленный пузырь, так что конфигурация напоминает сумку с ремнем или гимнастическую гирю.

**Заключение.** Таким образом, в данной работе численно показано, что в дефокусирующей Керровской оптической среде с аномальной дисперсией групповой скорости заполненное вихревое кольцо при достаточно сильной интенсивности фоновой волны подвержено сосисочной неустойчивости. Однако, в отличие от подобных объектов в захваченных бинарных бозе-конденсатах холодных атомов, здесь неустойчивость насыщается и приводит к ранее неиз-

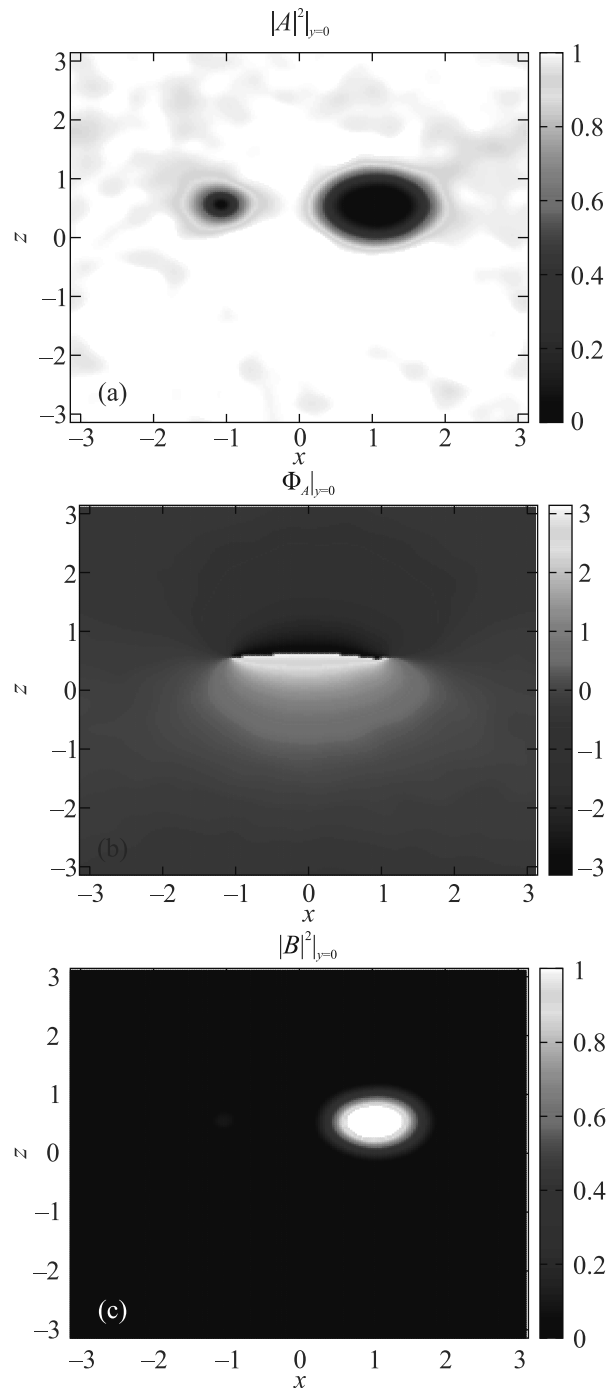


Рис. 2. (Цветной онлайн) Сечение вихревого кольца из рис. 1 плоскостью  $y = 0$ : (а) – относительная интенсивность первой компоненты; (б) – фаза первой компоненты; (в) – относительная интенсивность второй компоненты

вестным долгоживущим, существенно трехмерным структурам, которые не обладают осевой симметрией. Характерный размер таких комплексов оценивается в сотни микрон, а длина их распространения составляет метры.

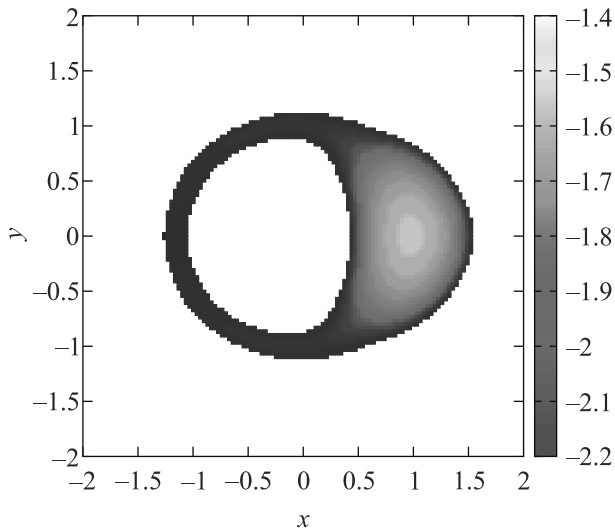


Рис. 3. Численный пример насыщения сильной сосисочной неустойчивости при  $I_0 = 81$ ,  $u \approx 2.0$ ,  $N_2 \approx 1.0$

Интересно также отметить, что при учете относительно слабого линейного поглощения света параметр  $I_0$  начинает экспоненциально уменьшаться по мере распространения волны. Если на начальном этапе имелось квазистационарное кольцо с нарушенной симметрией, то через какой-то интервал  $\zeta$  структура должна перейти в режим без сосисочной неустойчивости и в среднем восстановить осевую симметрию. Соответствующие численные эксперименты (их результаты здесь не приведены) подтвердили такой сценарий.

Работа выполнена в рамках госзадания № 0029-2021-0003.

1. Y. Kivshar and G. P. Agrawal, *Optical Solitons: From Fibers to Photonic Crystals*, 1st ed., Academic Press, California, USA (2003).
2. V. E. Zakharov and S. Wabnitz, *Optical Solitons: Theoretical Challenges and Industrial Perspectives*, Springer-Verlag, Berlin, Heidelberg (1999).
3. B. A. Malomed, *Multidimensional Solitons*, AIP Publishing (online), Melville, N. Y. (2022); <https://doi.org/10.1063/9780735425118>.
4. F. Baronio, S. Wabnitz, and Yu. Kodama, Phys. Rev. Lett. **116**, 173901 (2016).
5. P. G. Kevrekidis, D. J. Frantzeskakis, and R. Carretero-González, *The Defocusing Nonlinear Schrödinger Equation: From Dark Solitons to Vortices and Vortex Rings*, SIAM, Philadelphia (2015).
6. А. Л. Берхоэр, В. Е. Захаров, ЖЭТФ **58**, 903 (1970).
7. T.-L. Ho and V. B. Shenoy, Phys. Rev. Lett. **77**, 3276 (1996).
8. H. Pu and N. P. Bigelow, Phys. Rev. Lett. **80**, 1130 (1998).
9. B. P. Anderson, P. C. Haljan, C. E. Wieman, and E. A. Cornell, Phys. Rev. Lett. **85**, 2857 (2000).
10. S. Coen and M. Haelterman, Phys. Rev. Lett. **87**, 140401 (2001).
11. G. Modugno, M. Modugno, F. Riboli, G. Roati, and M. Inguscio, Phys. Rev. Lett. **89**, 190404 (2002).
12. E. Timmermans, Phys. Rev. Lett. **81**, 5718 (1998).
13. P. Ao and S. T. Chui, Phys. Rev. A **58**, 4836 (1998).
14. M. Haelterman and A. P. Sheppard, Phys. Rev. E **49**, 3389 (1994).
15. M. Haelterman and A. P. Sheppard, Phys. Rev. E **49**, 4512 (1994).
16. A. P. Sheppard and M. Haelterman, Opt. Lett. **19**, 859 (1994).
17. Yu. S. Kivshar and B. Luther-Davies, Phys. Rep. **298**, 81 (1998).
18. N. Dror, B. A. Malomed, and J. Zeng, Phys. Rev. E **84**, 046602 (2011).
19. A. H. Carlsson, J. N. Malmberg, D. Anderson, M. Lisak, E. A. Ostrovskaya, T. J. Alexander, and Yu. S. Kivshar, Opt. Lett. **25**, 660 (2000).
20. A. S. Desyatnikov, L. Torner, and Yu. S. Kivshar, Progress in Optics **47**, 291 (2005).
21. В. П. Рубан, Письма в ЖЭТФ **117**, 292 (2023).
22. B. van Schaeybroeck, Phys. Rev. A **78**, 023624 (2008).
23. K. Sasaki, N. Suzuki, and H. Saito, Phys. Rev. A **83**, 033602 (2011).
24. H. Takeuchi, N. Suzuki, K. Kasamatsu, H. Saito, and M. Tsubota, Phys. Rev. B **81**, 094517 (2010).
25. N. Suzuki, H. Takeuchi, K. Kasamatsu, M. Tsubota, and H. Saito, Phys. Rev. A **82**, 063604 (2010).
26. H. Kokubo, K. Kasamatsu, and H. Takeuchi, Phys. Rev. A **104**, 023312 (2021).
27. K. Sasaki, N. Suzuki, D. Akamatsu, and H. Saito, Phys. Rev. A **80**, 063611 (2009).
28. S. Gautam and D. Angom, Phys. Rev. A **81**, 053616 (2010).
29. T. Kadokura, T. Aioi, K. Sasaki, T. Kishimoto, and H. Saito, Phys. Rev. A **85**, 013602 (2012).
30. K. Sasaki, N. Suzuki, and H. Saito, Phys. Rev. A **83**, 053606 (2011).
31. D. Kobyakov, V. Bychkov, E. Lundh, A. Bezett, and M. Marklund, Phys. Rev. A **86**, 023614 (2012).
32. D. K. Maity, K. Mukherjee, S. I. Mistakidis, S. Das, P. G. Kevrekidis, S. Majumder, and P. Schmelcher, Phys. Rev. A **102**, 033320 (2020).
33. K. Kasamatsu, M. Tsubota, and M. Ueda, Phys. Rev. Lett. **91**, 150406 (2003).
34. K. Kasamatsu and M. Tsubota, Phys. Rev. A **79**, 023606 (2009).
35. P. Mason and A. Aftalion, Phys. Rev. A **84**, 033611 (2011).

36. K. Kasamatsu, M. Tsubota, and M. Ueda, Phys. Rev. Lett. **93**, 250406 (2004).
37. H. Takeuchi, K. Kasamatsu, M. Tsubota, and M. Nitta, Phys. Rev. Lett. **109**, 245301 (2012).
38. M. Nitta, K. Kasamatsu, M. Tsubota, and H. Takeuchi, Phys. Rev. A **85**, 053639 (2012).
39. K. Kasamatsu, H. Takeuchi, M. Tsubota, and M. Nitta, Phys. Rev. A **88**, 013620 (2013).
40. В. П. Рубан, Письма в ЖЭТФ **113**, 848 (2021).
41. В. П. Рубан, ЖЭТФ **160**, 912 (2021).
42. K. J. H. Law, P. G. Kevrekidis, and L. S. Tuckerman, Phys. Rev. Lett. **105**, 160405 (2010); Erratum, Phys. Rev. Lett. **106**, 199903 (2011).
43. M. Pola, J. Stockhofe, P. Schmelcher, and P. G. Kevrekidis, Phys. Rev. A **86**, 053601 (2012).
44. S. Hayashi, M. Tsubota, and H. Takeuchi, Phys. Rev. A **87**, 063628 (2013).
45. A. Richaud, V. Penna, R. Mayol, and M. Guilleumas, Phys. Rev. A **101**, 013630 (2020).
46. A. Richaud, V. Penna, and A. L. Fetter, Phys. Rev. A **103**, 023311 (2021).
47. В. П. Рубан, Письма в ЖЭТФ **113**, 539 (2021).
48. В. П. Рубан, Письма в ЖЭТФ **115**, 450 (2022).
49. V. P. Ruban, W. Wang, C. Ticknor, and P. G. Kevrekidis, Phys. Rev. A **105**, 013319 (2022).
50. G. C. Katsimiga, P. G. Kevrekidis, B. Prinari, G. Biondini, and P. Schmelcher, Phys. Rev. A **97**, 043623 (2018).
51. X. Liu, B. Zhou, H. Guo, and M. Bache, Opt. Lett. **40**, 3798 (2015).
52. X. Liu and M. Bache, Opt. Lett. **40**, 4257 (2015).